

Αεροελαστικότητα & Αεροακουστική 9^ο εξάμηνο

Προεραϊτικό θέμα Αεροελαστικότητας

Χρονική απόκριση ταλάντωσης αεροτομής σε συνθήκες μόνιμης
και μη-μόνιμης αεροδυναμικής



Γεώργιος Νιδριώτης - mc18054
5 Μαρτίου 2024

Περιεχόμενα

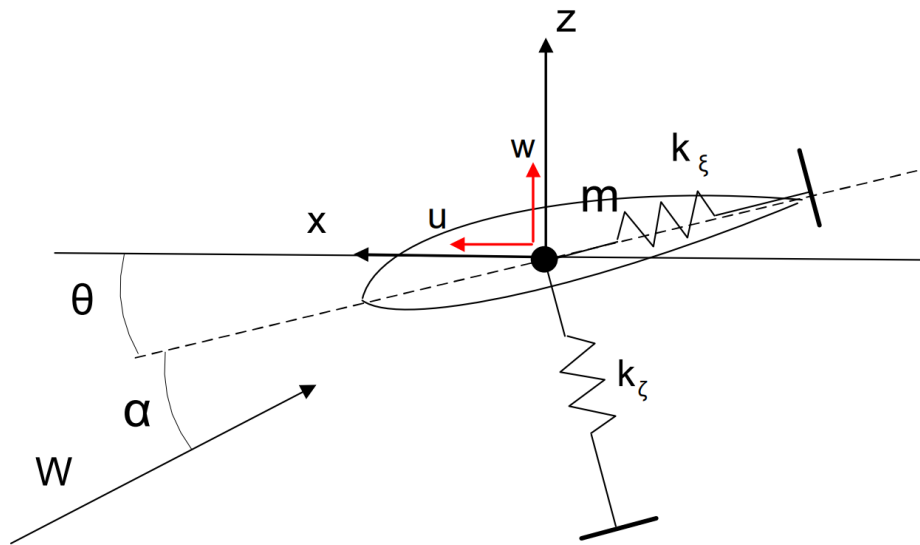
Εισαγωγή	1
1 Μοντελοποίηση - ορισμός αεροελαστικών εξισώσεων	1
1.1 Αεροελαστικές εξισώσεις μόνιμης ροής	2
1.2 Αεροελαστικές εξισώσεις μη-μόνιμης ροής	5
2 Ιδιοανυσματική ανάλυση συστήματος	7
2.1 Υπολογισμός ιδιοτιμών συστήματος	7
2.2 Υπολογισμός απόσβεσης συναρτήσει της γωνίας προσβολής	8
3 Χρονική ολοκλήρωση των αεροελαστικών εξισώσεων	10
I Πηγαίος κώδικας	i
I.i Κύρια συνάρτηση αλγορίθμου main.cpp	i
I.ii Βοηθητικό αρχείο συναρτήσεων utilities.cpp	ii
I.iii Αρχείο συναρτήσεων επίλυσης solver.cpp	vi
I.iv Αρχείο συναρτήσεων εξισώσεων μόνιμης ροής steady.cpp	ix
I.v Αρχείο συναρτήσεων εξισώσεων μη-μόνιμης ροής theodorsen.cpp	ix
I.vi Βοηθητικό αρχείο ορισμού συναρτήσεων utilities.h	xi
I.vii Αρχεία εισόδου matrix.dat και input.dat	xiii

Κατάλογος σχημάτων

1	Σχηματική αναπαράσταση μοντέλου αεροτομής	1
2	Διάγραμμα συντελεστή άνωσης	3
3	Διάγραμμα συντελεστή αντίστασης	3
4	Μεταβολή του λόγου απόσβεσης συναρτήσει της γωνίας προσβολής	8
5	Μεταβολή των ιδιοσυχνοτήτων συναρτήσει της γωνίας προσβολής	9
6	Οπτικοποίηση ιδιοδιανυσμάτων για τις δυο ιδιοτιμές	9
7	Χρονοσειρά απόκρισης -- μετατόπιση u	11
8	Χρονοσειρά απόκρισης -- μετατόπιση w	11

Εισαγωγή

Η παρούσα εργασία αφορά τον προσδιορισμό της αεροελαστικής συμπεριφοράς διδιάστατης αεροτομής. Συγκεκριμένα, θα ασχοληθούμε με τον προσδιορισμό της αεροδυναμικής απόσβεσης και τη χρονική απόκριση της αεροτομής σε ελεύθερο πεδίο ροής. Η αεροδυναμική μοντελοποίηση της αεροτομής θα γίνει με δύο διαφορετικές μεθόδους, θεωρώντας μόνιμη και αποκατεστημένη ροή, και χρησιμοποιώντας μη-μόνιμο μοντέλο που λαμβάνει υπόψη και μεταβατικά φαινόμενα, ωστόσο περεταίρω εξήγηση δίνεται στις παρακάτω παραγράφους. Αναφορικά με την ελαστική στήριξη της αεροτομής, θεωρούμε τμήμα (μοναδιαίου μήκους) μιας πτέρυγας, και η ελαστική στήριξη αφορά την ανηγμένη δυσκαμψία σε κάμψη της πτέρυγας, στη θέση του τμήματος που μελετάμε. Επιπλέον, θεωρούμε μηδενική δομική απόσβεση (structural damping) και πως οι κύριοι άξονες του μητρώου ακαμψίας της διατομής είναι προσανατολισμένοι παράλληλα, και κάθετα στην χορδή της αεροτομής (σε μηδενική γωνία δεν έχουμε ελαστική σύζευξη). Ένα απλοποιημένο σχήμα του μοντέλου φαίνεται στο σχήμα 1.



Σχήμα 1: Σχηματική αναπαράσταση μοντέλου αεροτομής

1 Μοντελοποίηση - ορισμός αεροελαστικών εξισώσεων

Με το μοντέλο που περιγράφηκε παραπάνω, θα εξάγουμε τις αεροελαστικές εξισώσεις που περιγράφουν την κίνηση της αεροτομής. Οι εξισώσεις διατυπώνονται για τη γενική περίπτωση που έχουμε ελαστική σύζευξη, που ισχύει όταν έχουμε μη-μηδενική γωνία θ . Θεωρώντας δεδομένα την ελαστικότητα (σταθερές ελατηρίων), τη γωνία της αεροτομής, και τη γωνία προσβολής του ανέμου, εφαρμόζοντας την ενεργειακή μέθοδο Lagrange, οι κινητική και η δυναμική ενέργεια του συστήματος είναι:

$$\begin{aligned} T &= \frac{1}{2} m (\dot{u}^2 + \dot{w}^2) \\ U &= \frac{1}{2} k_x (u \cdot \cos\theta - w \cdot \sin\theta)^2 + \frac{1}{2} k_z (u \cdot \sin\theta + w \cdot \cos\theta)^2 \end{aligned} \quad (1.1)$$

Και με βάση την μέθοδο Lagrange, η εξίσωση ισορροπίας για κάθε Β.Ε είναι

$$\frac{d}{dt} \left(\frac{\partial T - U}{\partial \dot{q}_i} \right) - \frac{\partial T - U}{\partial q_i} = Q_i \quad (1.2)$$

Και τελικά οι δύο εξισώσεις καταλήγουν στην παρακάτω μορφή.

$$\begin{aligned} m\ddot{u} + (\cos^2\theta \cdot k_\xi + \sin^2\theta \cdot k_\zeta) \cdot u + \sin\theta\cos\theta \cdot (k_\zeta - k_\xi) \cdot w &= F_x \\ m\ddot{w} + \sin\theta\cos\theta(k_\zeta - k_\xi) \cdot u + (\sin^2\theta \cdot k_\xi + \cos^2\theta \cdot k_\zeta) \cdot w &= F_z \end{aligned} \quad (1.3)$$

Η μητρική,

$$\underbrace{\begin{bmatrix} m & 0 \\ 0 & m \end{bmatrix}}_{\mathbf{M}} \underbrace{\begin{Bmatrix} \ddot{u} \\ \ddot{w} \end{Bmatrix}} + \underbrace{\begin{bmatrix} \cos^2\theta \cdot k_\xi + \sin^2\theta \cdot k_\zeta & \sin\theta\cos\theta \cdot (k_\zeta - k_\xi) \\ \sin\theta\cos\theta \cdot (k_\zeta - k_\xi) & \sin^2\theta \cdot k_\xi + \cos^2\theta \cdot k_\zeta \end{bmatrix}}_{\mathbf{K}} \underbrace{\begin{Bmatrix} u \\ w \end{Bmatrix}} = \underbrace{\begin{Bmatrix} F_x \\ F_z \end{Bmatrix}} \quad (1.4)$$

Με βάση την εξίσωση 1.4, σημειώνονται τα εξής. Το μητρώο \mathbf{K} αφορά το μετασχηματισμένο μητρώο δυσκαμψίας της αεροτομής από το τοπικό της σύστημα στο γενικό. Επίσης, οι εξισώσεις 1.3, 1.4 βρίσκονται στην πρωτογενή τους μορφή. Δηλαδή, δεν μπορούμε να ποσοτικοποιήσουμε την επίδραση της αεροδυναμικής στην απόσβεση από την εξίσωση 1.4.

Αν γραμμικοποιήσουμε την εξίσωση 1.4 γύρω από μια θέση (έστω τη θέση ισορροπίας), τότε παίρνει την παρακάτω μορφή (εξ. 1.5).

$$[\mathbf{M}]\delta\ddot{\mathbf{u}} + \underbrace{\begin{bmatrix} -\frac{\partial F_x}{\partial \dot{u}} & -\frac{\partial F_x}{\partial \dot{w}} \\ -\frac{\partial F_z}{\partial \dot{u}} & -\frac{\partial F_z}{\partial \dot{w}} \end{bmatrix}}_{\mathbf{C}} \delta\dot{\mathbf{u}} + [\mathbf{K}]\delta\mathbf{u} = \mathbf{F}_0 - [\mathbf{M}]\ddot{\mathbf{u}}_0 - [\mathbf{K}]\mathbf{u}_0 \quad (1.5)$$

Η μορφή της εξίσωσης 1.5 είναι πολύ χρήσιμη στην ιδιοανυσματική ανάλυση, από όπου μπορούμε να εξάγουμε πληροφορίες για την ευστάθεια της αεροτομής μέσω του λόγου απόσβεσης. Φυσικά, η εξίσωση 1.5 μας παρέχει πληροφορία για την ευστάθεια στο σημείο γραμμικοποίησης, δηλαδή, αν γραμμικοποιήσουμε σε σημείο κοντά αλλά πριν την αντιστροφή της κλίσης του διαγράμματος $Cl - \alpha$ (βλ. σχήμα 2), η αεροτομή θα φανεί πιθανότατα ευσταθής, παρ'όλο που κατά την ταλάντωσή της μπορεί να βρεθεί σε σημείο όπου έχουμε αρνητική απόσβεση, και σε αυτό θα αναφερθούμε σε επόμενες παραγράφους.

Οπότε, πλέον, με αφετηρία την εξίσωση 1.3 ή 1.4, μπορούμε να καθορίσουμε τις αεροελαστικές εξισώσεις για μόνιμη και μη-μόνιμη ροή.

1.1 Αεροελαστικές εξισώσεις μόνιμης ροής

Σε αυτή την περίπτωση, θα υπολογίσουμε την άνωση και την αντίσταση χρησιμοποιώντας δεδομένα για αεροτομή που προκύπτουν από μόνιμη πλήρως ανεπτυγμένη ροή. Για την υλοποίηση της εργασίας, χρησιμοποιήσαμε αεροτομή NACA 2412, και προσεγγίσαμε τις καμπύλες $Cl - \alpha$, $Cd - \alpha$ χρησιμοποιώντας προσομοίωση με συνεκτική ροή στο XFOIL. Στο λογισμικό που αναπτύχθηκε, έγινε προεκβολή για τιμές εκτός του εύρους της προσομοίωσης, με ανάπτυγμα Taylor χρησιμοποιώντας όρους δεύτερης τάξης, και θέσαμε όριο στις $\pm 50^\circ$ για να αποφύγουμε την αύξηση του σφάλματος για μεγάλες τιμές της γωνίας προσβολής. Για γωνίες μεταξύ αποτελεσμάτων των προσομοιώσεων, οι τιμές των Cl , Cd λαμβάνονται με γραμμική παρεμβολή. Τέλος, οι τιμές της κλίσης, λαμβάνονται με κεντρικές πεπερασμένες διαφορές. Οι καμπύλες Cl , Cd που προκύπτουν φαίνονται στα διαγράμματα 2, 3.

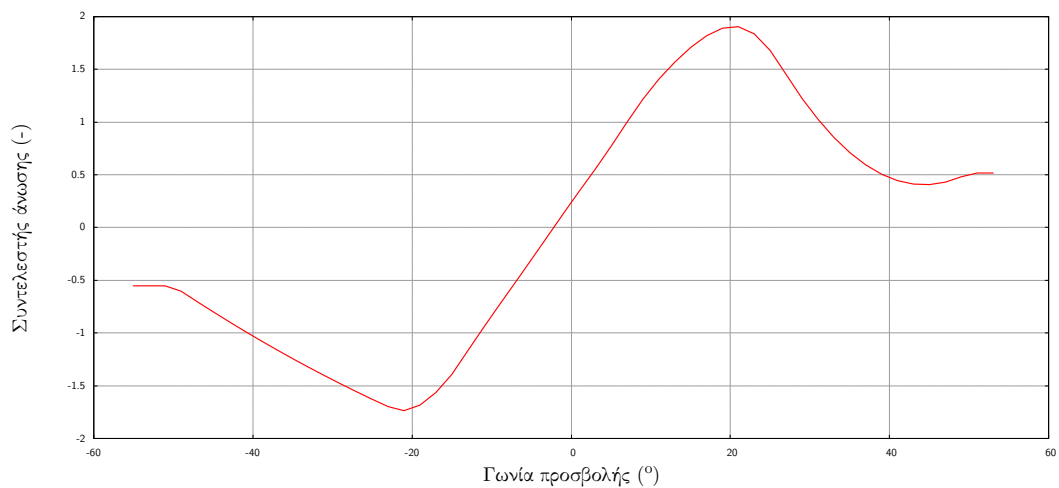
Με δεδομένες καμπύλες των αεροδυναμικών συντελεστών, μπορούμε να υπολογίσουμε τα αεροδυναμικά φορτία. Αρχικά, πρέπει να ορίσουμε τη φαινομενική ταχύτητα της ροής και τη φαινομενική γωνία προσβολής και η έκφρασή τους λαμβάνοντας υπόψη την κίνηση της αεροτομής δίνεται παρακάτω.

$$W_{eff} = \sqrt{(-W\cos(\theta + \alpha) - \dot{u})^2 + (W\sin(\theta + \alpha) - \dot{w})^2} \quad (1.6)$$

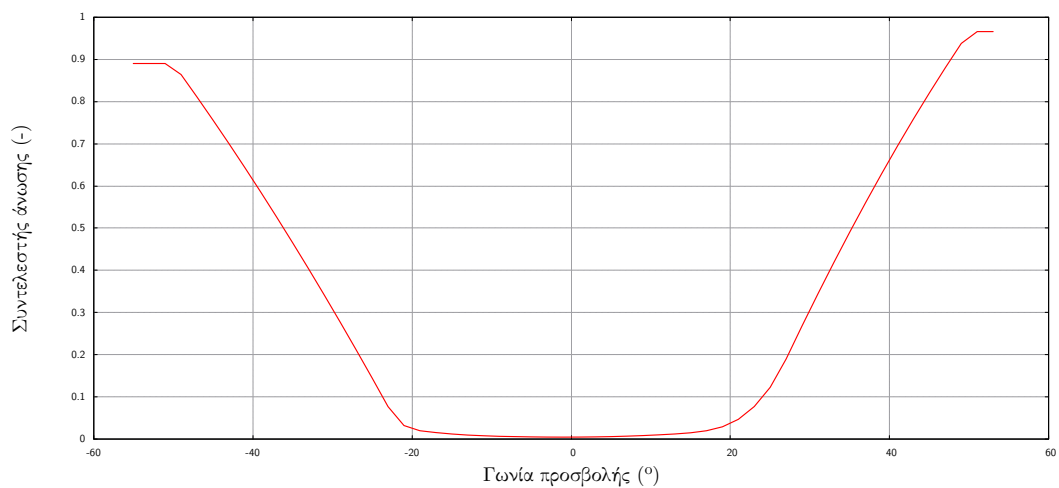
$$\alpha_{eff} = -\text{atan}\left(\frac{W\sin(\alpha + \theta) - \dot{w}}{-W\cos(\alpha + \theta) - \dot{u}}\right) - \theta \quad (1.7)$$

Και επομένως, κατά τα γνωστά, η δύναμη αντίστασης και άνωσης δίνονται από τη σχέση 1.8, και μετασχηματισμένες στο γενικό σύστημα από τη σχέση 1.9.

$$\begin{aligned} L &= \frac{1}{2}\rho \cdot c \cdot C_L(\alpha_{eff}) \cdot W_{eff}^2 \\ D &= \frac{1}{2}\rho \cdot c \cdot C_D(\alpha_{eff}) \cdot W_{eff}^2 \end{aligned} \quad (1.8)$$



Σχήμα 2: Διάγραμμα συντελεστή άνωσης



Σχήμα 3: Διάγραμμα συντελεστή αντίστασης

$$\begin{aligned} F_x &= L \cdot \sin(\alpha_{eff} + \theta) - D \cdot \cos(\alpha_{eff} + \theta) \\ F_z &= L \cdot \cos(\alpha_{eff} + \theta) + D \cdot \sin(\alpha_{eff} + \theta) \end{aligned} \quad (1.9)$$

Επομένως, πλέον, παραγωγίζοντας τις σχέσεις 1.9 μπορούμε να λάβουμε το μητρώο της αεροδυναμικής απόσβεσης, όπως προκύπτει από την εξίσωση 1.5.

$$\begin{aligned} \frac{\partial F_x}{\partial \dot{u}} &= \frac{\partial L}{\partial \dot{u}} \cdot \sin(\alpha_{eff} + \theta) + L \cdot \cos(\alpha_{eff} + \theta) \cdot \frac{\partial \alpha_{eff}}{\partial \dot{u}} \\ &\quad - \frac{\partial D}{\partial \dot{u}} \cdot \cos(\alpha_{eff} + \theta) + D \cdot \sin(\alpha_{eff} + \theta) \cdot \frac{\partial \alpha_{eff}}{\partial \dot{u}} \end{aligned} \quad (1.10)$$

$$\begin{aligned} \frac{\partial F_x}{\partial \dot{w}} &= \frac{\partial L}{\partial \dot{w}} \cdot \sin(\alpha_{eff} + \theta) + L \cdot \cos(\alpha_{eff} + \theta) \cdot \frac{\partial \alpha_{eff}}{\partial \dot{w}} \\ &\quad - \frac{\partial D}{\partial \dot{w}} \cdot \cos(\alpha_{eff} + \theta) + D \cdot \sin(\alpha_{eff} + \theta) \cdot \frac{\partial \alpha_{eff}}{\partial \dot{w}} \end{aligned} \quad (1.11)$$

Και αντίστοιχα για την F_z .

$$\begin{aligned} \frac{\partial F_z}{\partial \dot{u}} &= \frac{\partial L}{\partial \dot{u}} \cdot \cos(\alpha_{eff} + \theta) - L \cdot \sin(\alpha_{eff} + \theta) \cdot \frac{\partial \alpha_{eff}}{\partial \dot{u}} \\ &\quad + \frac{\partial D}{\partial \dot{u}} \cdot \sin(\alpha_{eff} + \theta) + D \cdot \cos(\alpha_{eff} + \theta) \cdot \frac{\partial \alpha_{eff}}{\partial \dot{u}} \end{aligned} \quad (1.12)$$

$$\begin{aligned} \frac{\partial F_z}{\partial \dot{w}} &= \frac{\partial L}{\partial \dot{w}} \cdot \cos(\alpha_{eff} + \theta) - L \cdot \sin(\alpha_{eff} + \theta) \cdot \frac{\partial \alpha_{eff}}{\partial \dot{w}} \\ &\quad + \frac{\partial D}{\partial \dot{w}} \cdot \sin(\alpha_{eff} + \theta) + D \cdot \cos(\alpha_{eff} + \theta) \cdot \frac{\partial \alpha_{eff}}{\partial \dot{w}} \end{aligned} \quad (1.13)$$

Για τον υπολογισμό των παραγώγων από τις εξισώσεις (1.10)-(1.13), χρειαζόμαστε τις εκφράσεις των $\frac{\partial L}{\partial \dot{\mathbf{u}}}$, $\frac{\partial D}{\partial \dot{\mathbf{u}}}$, $\frac{\partial \alpha_{eff}}{\partial \dot{\mathbf{u}}}$. Θεωρώντας πως $W_{eff} \approx W$, οι παραπάνω παράγωγοι είναι.

$$\frac{\partial L}{\partial \dot{u}} = \frac{\partial C_L}{\partial \dot{u}} \cdot \frac{\rho}{2} \cdot c \cdot W_{eff}^2 = \frac{\partial C_L}{\partial \alpha_{eff}} \cdot \frac{\partial \alpha_{eff}}{\partial \dot{u}} \cdot \frac{\rho}{2} \cdot c \cdot W_{eff}^2 \quad (1.14)$$

$$\frac{\partial L}{\partial \dot{w}} = \frac{\partial C_L}{\partial \dot{w}} \cdot \frac{\rho}{2} \cdot c \cdot W_{eff}^2 = \frac{\partial C_L}{\partial \alpha_{eff}} \cdot \frac{\partial \alpha_{eff}}{\partial \dot{w}} \cdot \frac{\rho}{2} \cdot c \cdot W_{eff}^2$$

$$\frac{\partial D}{\partial \dot{u}} = \frac{\partial C_D}{\partial \dot{u}} \cdot \frac{\rho}{2} \cdot c \cdot W_{eff}^2 = \frac{\partial C_D}{\partial \alpha_{eff}} \cdot \frac{\partial \alpha_{eff}}{\partial \dot{u}} \cdot \frac{\rho}{2} \cdot c \cdot W_{eff}^2 \quad (1.15)$$

$$\frac{\partial D}{\partial \dot{w}} = \frac{\partial C_D}{\partial \dot{w}} \cdot \frac{\rho}{2} \cdot c \cdot W_{eff}^2 = \frac{\partial C_D}{\partial \alpha_{eff}} \cdot \frac{\partial \alpha_{eff}}{\partial \dot{w}} \cdot \frac{\rho}{2} \cdot c \cdot W_{eff}^2$$

Και από την εξίσωση (1.7) η παράγωγοι $\frac{\partial \alpha_{eff}}{\partial \dot{\mathbf{u}}}$ είναι.

$$\frac{\partial \alpha_{eff}}{\partial \dot{u}} = \frac{-(W \sin(\alpha + \theta) - \dot{w})}{W^2 + \dot{u}^2 + \dot{w}^2 + 2 \cdot W \cdot \dot{u} \cos(\alpha + \theta) - 2 \cdot W \cdot \dot{w} \cdot \sin(\alpha + \theta)} \quad (1.16)$$

$$\frac{\partial \alpha_{eff}}{\partial \dot{w}} = \frac{-(W \cdot \cos(\alpha + \theta) + \dot{u})}{W^2 + \dot{u}^2 + \dot{w}^2 + 2 \cdot W \cdot \dot{u} \cos(\alpha + \theta) - 2 \cdot W \cdot \dot{w} \cdot \sin(\alpha + \theta)} \quad (1.17)$$

Αντικαθιστώντας τις εξισώσεις (1.14)-(1.17) στις εξισώσεις (1.10)-(1.13), προκύπτουν οι τελικές εκφράσεις του μητρώου αεροδυναμικής απόσβεσης.

$$\begin{aligned} \frac{\partial F_x}{\partial \dot{u}} &= \frac{\rho}{2} \cdot W^2 \cdot c \cdot \frac{\partial \alpha_{eff}}{\partial \dot{u}} \cdot \left[\sin(\alpha_{eff} + \theta) \left(\frac{\partial C_L}{\partial \alpha_{eff}} + C_D \right) + \right. \\ &\quad \left. + \cos(\alpha_{eff} + \theta) \left(C_L - \frac{\partial C_D}{\partial \alpha_{eff}} \right) \right] \end{aligned} \quad (1.18)$$

$$\frac{\partial F_x}{\partial \dot{w}} = \frac{\rho}{2} \cdot W^2 \cdot c \cdot \frac{\partial \alpha_{eff}}{\partial \dot{w}} \cdot \left[\sin(\alpha_{eff} + \theta) \left(\frac{\partial C_L}{\partial \alpha_{eff}} + C_D \right) + \cos(\alpha_{eff} + \theta) \left(C_L - \frac{\partial C_D}{\partial \alpha_{eff}} \right) \right] \quad (1.19)$$

$$\frac{\partial F_z}{\partial \dot{u}} = \frac{\rho}{2} \cdot W^2 \cdot c \cdot \frac{\partial \alpha_{eff}}{\partial \dot{u}} \cdot \left[\sin(\alpha_{eff} + \theta) \left(\frac{\partial C_D}{\partial \alpha_{eff}} + C_L \right) + \cos(\alpha_{eff} + \theta) \left(C_D - \frac{\partial C_L}{\partial \alpha_{eff}} \right) \right] \quad (1.20)$$

$$\frac{\partial F_z}{\partial \dot{w}} = \frac{\rho}{2} \cdot W^2 \cdot c \cdot \frac{\partial \alpha_{eff}}{\partial \dot{w}} \cdot \left[\sin(\alpha_{eff} + \theta) \left(\frac{\partial C_D}{\partial \alpha_{eff}} + C_L \right) + \cos(\alpha_{eff} + \theta) \left(C_D - \frac{\partial C_L}{\partial \alpha_{eff}} \right) \right] \quad (1.21)$$

Και τελικά

$$[C] = \begin{bmatrix} -\frac{\partial F_x}{\partial \dot{u}} & -\frac{\partial F_x}{\partial \dot{w}} \\ -\frac{\partial F_z}{\partial \dot{u}} & -\frac{\partial F_z}{\partial \dot{w}} \end{bmatrix} \quad (1.22)$$

1.2 Αεροελαστικές εξισώσεις μη-μόνιμης ροής

Για τη διατύπωση των αεροελαστικών εξισώσεων μη-μόνιμης ροής, χρησιμοποιούμε τη διατύπωση των αεροδυναμικών φορτίων που παρέχουν οι εξισώσεις του Theodorsen για προσκολλημένη ροή. Οι εξισώσεις του Theodorsen, προσεγγίζουν την αεροτομή ως μια διδιάστατη επιφάνεια (επίπεδη πλάκα χωρίς πάχος), και θεωρούν πως η αεροδυναμική συμπεριφορά της αεροτομής κυριαρχείται από την κίνησή της κάθετα στην χορδή της. Στην τελική διατύπωση τους, οι εξισώσεις του Theodorsen λαμβάνουν υπόψη την επίδραση του ομόρρου στο οριακό στρώμα της πτέρυγας και επιπλέον συνυπολογίζουν την προστιθέμενη μάζα που προκύπτει από το ρευστό λόγω της επιτάχυνσης της πτέρυγας (κάθετα στην χορδή). Οι εξισώσεις του Theodorsen στην αρχική τους μορφή, θεωρούν και στροφικό βαθμό ελευθερίας της πτέρυγας, ωστόσο ακολουθώντας τις αρχικές θεωρήσεις μας, όλοι οι αντίστοιχοι όροι έχουν μηδενισθεί. Η έκφραση του συντελεστή άνωσης από τις εξισώσεις του Theodorsen παρουσιάζεται στην εξίσωση (1.23).

$$C_L = 2\pi(\alpha_E(t) - \alpha_0) - \underbrace{\frac{\pi \cdot c \cdot \ddot{h}}{2 \cdot W_{eff}^2}}_{\text{Όρος προστιθέμενης μάζας}} \quad (1.23)$$

Όπου $\ddot{h} = \ddot{w} \cos \theta + \ddot{u} \sin \theta$ η επιτάχυνση της πτέρυγας κάθετα στη χορδή. Σημειώνεται πως για αύξηση της ακρίβειας, ο συντελεστής 2π μπορεί να αντικατασταθεί από την κλίση της καμπύλης C_L - α στη γραμμική περιοχή, δηλαδή $\left. \frac{dC_L}{d\alpha} \right|_{\text{γραμμ}}$

Επιπλέον, λόγω της φαινόμενης γωνίας προσβολής, επάγεται αντίσταση στο σύστημα παράλληλο με τη χορδή, και ο συντελεστής αντίστασης είναι

$$C_D = C_{D,\mu\sigma\nu}(\alpha_E) + C_L \cdot (\alpha_{eff} - \alpha_E) \quad (1.24)$$

Η φαινόμενη γωνία προσβολής (α_E) είναι ο όρος που λαμβάνει υπόψη την επίδραση του ομόρρου στο οριακό στρώμα της αεροτομής και συχνά καλείται όρος ανακυκλοφορίας. Αναπτύσσοντας την ποσότητα α_E έχουμε:

$$\alpha_E = C(k)\alpha_{eff} \quad (1.25)$$

Με

$$\alpha_{eff} = \alpha - \theta - \frac{\dot{h}}{W_{eff}^2} \quad (1.26)$$

Όπου, $C(k)$ αποκαλούμε τη συνάρτηση Theodorsen, που συσχετίζει την ταλάντωση του πεδίου ροής στον ομόρρου με την πίεση στην επιφάνεια της αεροτομής, δηλαδή ποσοτικοποιεί την επίδραση της ταλάντωσης στον ομόρρου στον συντελεστή άνωσης.

Καθώς ο υπολογισμός της συνάρτησης Theodorsen είναι αρκετά επίπονος, θα υπολογίσουμε την φαινόμενη γωνία προσβολής α_E από την εξίσωση (1.27), όπου y_1, y_2 δύο επιπλέον αεροδυναμικοί βαθμοί ελευθερίας, που προκύπτουν από τη λύση του συστήματος Σ.Δ.Ε 1.28.

$$\alpha_E = \alpha_{eff} \cdot (1 - A_1 - A_2) + y_1 + y_2 \quad (1.27)$$

$$\begin{aligned} \dot{y}_1 + b_1 \frac{2W_{eff}}{c} y_1 - b_1 A_1 \frac{2W_{eff}}{c} \alpha_{eff} &= 0 \\ \dot{y}_2 + b_2 \frac{2W_{eff}}{c} y_2 - b_2 A_2 \frac{2W_{eff}}{c} \alpha_{eff} &= 0 \end{aligned} \quad (1.28)$$

Με $A_1 = 0.165$, $A_2 = 0.335$, $b_1 = 0.0455$, $b_2 = 0.3000$.

Ως οριακές συνθήκες των εξισώσεων 1.28 ορίζουμε πως για $t = 0$ έχουμε $\alpha_E = \alpha_{eff}$ οπότε προκύπτει $y_1(0) = A_1 \alpha_{eff}$ και $y_2(0) = A_2 \alpha_{eff}$. Οι εξισώσεις 1.28 διακριτοποιούνται με πεπερασμένες διαφορές και υπολογίζουμε τις τιμές των y_1, y_2 πριν τον υπολογισμό των εξωτερικών φορτίων από την εξίσωση (1.9).

Για να υπολογίσουμε πλέον, τις παραγώγους των αεροδυναμικών φορτίων και συνεπώς το μητρώο αεροδυναμικής απόσβεσης διαφορίζουμε τις Δ.Ε 1.28.

$$\frac{\partial}{\partial \dot{u}} \left(\frac{dy_1}{dt} \right) + b_1 \frac{2W_{eff}}{c} \frac{\partial y_1}{\partial \dot{u}} - b_1 A_1 \frac{2W_{eff}}{c} \frac{\partial \alpha_{eff}}{\partial \dot{u}} = 0 \quad (1.29)$$

Θεωρώντας τον όρο δεύτερης τάξης $\frac{\partial}{\partial \dot{u}} \left(\frac{dy_1}{dt} \right) \approx 0$ προκύπτει:

$$\frac{\partial y_1}{\partial \dot{u}} = A_1 \frac{\partial \alpha_{eff}}{\partial \dot{u}} \quad (1.30)$$

$$\frac{\partial y_2}{\partial \dot{u}} = A_2 \frac{\partial \alpha_{eff}}{\partial \dot{u}} \quad (1.31)$$

Επιπλέον,

$$\frac{\partial \alpha_E}{\partial \dot{u}} = (1 - A_1 - A_2) \frac{\partial \alpha_{eff}}{\partial \dot{u}} + \frac{\partial y_1}{\partial \dot{u}} + \frac{\partial y_2}{\partial \dot{u}} \quad (1.32)$$

Και αντικαθιστώντας τις εξισώσεις (1.30)-(1.31), προκύπτει:

$$\frac{\partial \alpha_E}{\partial \dot{u}} = \frac{\partial \alpha_{eff}}{\partial \dot{u}} \quad (1.33)$$

Ενώ από την εξίσωση (1.26) είναι:

$$\begin{aligned} \frac{\partial \alpha_{eff}}{\partial \dot{u}} &= -\sin(\theta) \\ \frac{\partial \alpha_{eff}}{\partial \dot{w}} &= -\cos(\theta) \end{aligned} \quad (1.34)$$

Επομένως, τελικά έχουμε

$$\frac{\partial C_L}{\partial \dot{u}} = \frac{dC_L}{d\alpha} \bigg|_{\text{γραμμ}} \cdot \frac{\partial \alpha_{eff}}{\partial \dot{u}} \quad (1.35)$$

Και για τον συντελεστή αντίστασης

$$\frac{\partial C_D}{\partial \dot{\mathbf{u}}} = \frac{\partial C_D}{\partial \alpha} \cdot \frac{\partial \alpha_{eff}}{\partial \dot{\mathbf{u}}} + \frac{\partial C_L}{\partial \dot{\mathbf{u}}} \cdot (\alpha_{eff} - \alpha_E) \quad (1.36)$$

Και οι τελικές τιμές των παραγώγων των αεροδυναμικών φορτίων υπολογίζονται απο τις εξισώσεις (1.10)-(1.15). Σημειώνεται ωστόσο, πως η θεώρηση του όρου $\frac{\partial}{\partial \dot{\mathbf{u}}} \left(\frac{dy_1}{dt} \right) \approx 0$ αγνοεί την επιρροή του ομόρρου στην αεροδυναμική απόσβεση της αεροτομής και αποτελεί μια παραδοχή για απλοποίηση των υπολογισμών και την αποφυγή της επίλυσης μιας ακόμη Σ.Δ.Ε. Ωστόσο, όπως θα δούμε και σε επόμενη παράγραφο, αν δεν λύσουμε την γραμμικοποιημένη εξίσωση για τον προσδιορισμό της χρονοσειράς των αποκρίσεων, αλλά χρησιμοποιήσουμε την αρχική έκφραση, αυτή η απλοποίηση δεν αποτελεί αίτιο προβληματισμού. Ωστόσο, αν θέλαμε να συγκρίνουμε τις τιμές της απόσβεσης που δίνουν οι εκφράσεις των μόνιμων και μη-μόνιμων μοντέλων, θα ήταν αναγκαίο να συμπεριλάβουμε και τον όρο δεύτερης τάξης.

2 Ιδιοανυσματική ανάλυση συστήματος

2.1 Υπολογισμός ιδιοτιμών συστήματος

Για την αναγνώριση των ιδιοσυχνοτήτων και της απόσβεσης του συστήματος πραγματοποιούμε ιδιοανυσματική ανάλυση.

Αρχικά, μετασχηματίζουμε τις αεροελαστικές εξισώσεις σε μορφή κατάστασης-χώρου (state space transformation).

$$\begin{aligned} \mathbf{y}_1 &= \dot{\mathbf{x}} \\ \mathbf{y}_2 &= \mathbf{x} \end{aligned} \quad (2.1)$$

Επομένως το σύστημα γίνεται

$$\begin{bmatrix} \mathbf{M} & \mathbf{0} \\ \mathbf{0} & \mathbf{I} \end{bmatrix} \cdot \begin{Bmatrix} \mathbf{y}_1 \\ \mathbf{y}_2 \end{Bmatrix} = \begin{bmatrix} -\mathbf{C} & -\mathbf{K} \\ \mathbf{I} & \mathbf{0} \end{bmatrix} \cdot \begin{Bmatrix} \mathbf{y}_1 \\ \mathbf{y}_2 \end{Bmatrix} + \begin{Bmatrix} \mathbf{Q} \\ \mathbf{0} \end{Bmatrix} \quad (2.2)$$

Και εναλλακτικά

$$\begin{Bmatrix} \dot{\mathbf{y}}_1 \\ \mathbf{y}_2 \end{Bmatrix} = \underbrace{\begin{bmatrix} -\mathbf{M}^{-1}\mathbf{C} & -\mathbf{M}^{-1}\mathbf{K} \\ \mathbf{I} & \mathbf{0} \end{bmatrix}}_A \cdot \begin{Bmatrix} \mathbf{y}_1 \\ \mathbf{y}_2 \end{Bmatrix} + \underbrace{\begin{bmatrix} \mathbf{M}^{-1} & \mathbf{0} \\ \mathbf{0} & \mathbf{I} \end{bmatrix} \cdot \begin{Bmatrix} \mathbf{Q} \\ \mathbf{0} \end{Bmatrix}}_B \quad (2.3)$$

Αναλύοντας το ομογενές σύστημα, οι ιδιοσυχνότητες και η απόσβεση δίνονται απο τις ιδιοτιμές του μητρώου \mathbf{A} . Για τους δυο βαθμούς ελευθερίας του φυσικού μας προβλήματος, το μητρώο \mathbf{A} έχει διαστάσεις 4×4 και συνεπώς δίνει τέσσερις ιδιοτιμές -- δύο ζεύγη μιγαδικών συζυγών ιδιοτιμών απο την λύση της εξίσωσης (2.4).

$$\det(\mathbf{A} - \lambda_i \mathbf{I}) = 0 \quad (2.4)$$

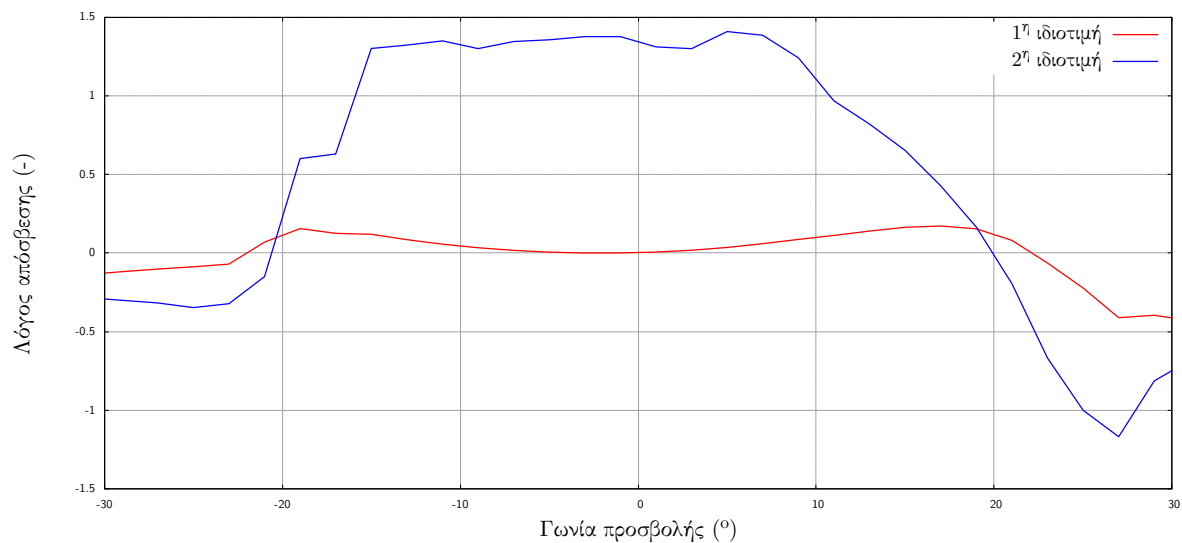
Σημειώνεται πως στην πράξη, για μητρώα μεγαλύτερα του 2×2 οι ιδιοτιμές δεν βρίσκονται λύνοντας την εξίσωση (2.4) αλλά βρίσκονται αριθμητικά απο το μητρώο \mathbf{A} .

Κάθε ζεύγος συζυγών ιδιοτιμών πλεον έχει την παρακάτω μορφή (εξίσωση (2.5)).

$$\lambda_i, \lambda_i^c = -\zeta \pm i \underbrace{\omega_n \sqrt{1 - \zeta^2}}_{\omega_d} \quad (2.5)$$

Επομένως, το πραγματικό μέρος της ιδιοτιμής μας πληροφορεί για την απόσβεση του συστήματος για συχνότητα ταλάντωσης ω_d και το φανταστικό μέρος μας δίνει την ιδιοσυχνότητα του συστήματος για κάθε ιδιοτιμή. Επιπλέον, απο την εξίσωση (2.6) για κάθε ιδιοτιμή μπορούμε να βρούμε την αντίστοιχη ιδιομορφή, που μας πληροφορεί για το πλάτος της ταλάντωσης των βαθμών ελευθερίας όταν το σύστημα ταλαντώνεται με την αντίστοιχη ιδιοσυχνότητα. Στη δική μας περίπτωση για κάθε ιδιοτιμή μπορούμε να βρούμε την αντίστοιχη ιδιομορφή, που μας πληροφορεί για τη συσχέτιση των βαθμών ελευθερίας όταν το σύστημα ταλαντώνεται με την αντίστοιχη ιδιοσυχνότητα. Κάθε ιδιομορφή συνήθως περιγράφει την κίνηση του συστήματος όπως κυριαρχείται από την ταλάντωση ενός βαθμού ελευθερίας. Σε προβλήματα περισσότερων βαθμών ελευθερίας, και ειδικά σε προβλήματα συνεχούς μέσου, υψηλότερες ιδιοτιμές περιγράφουν και πεπλεγμένες μορφές.

$$(\mathbf{A} - \lambda_i \mathbf{I}) \phi_i = 0 \quad (2.6)$$



Σχήμα 4: Μεταβολή του λόγου απόσβεσης συναρτήσει της γωνίας προσβολής

2.2 Υπολογισμός απόσβεσης συναρτήσει της γωνίας προσβολής

Όπως αναφέραμε και στην προηγούμενη παράγραφο, οι ιδιοτιμές του συστήματος υπολογίζονται από το μητρώο **A** της εξίσωσης (2.3). Προφανώς, το μητρώο της απόσβεσης αφορά τη θέση αναφοράς γύρω από την οποία γραμμικοποιήσαμε, και επιλέξαμε να χρησιμοποιήσουμε τις εξισώσεις μόνιμης ροής (που δεν εξαρτώνται από την ταχύτητα ταλάντωσης) γραμμικοποιώντας γύρω από το σημείο ισορροπίας ($\dot{u}, \dot{w} = 0$).

Τα διαγράμματα μεταβολής της απόσβεσης για τους δυο βαθμούς ελευθερίας συναρτήσει της γωνίας προσβολής παρατίθενται στο σχήμα 4 ενώ τα δεδομένα που χρησιμοποιήθηκαν για το μοντέλο παρατίθενται στον πίνακα 1.

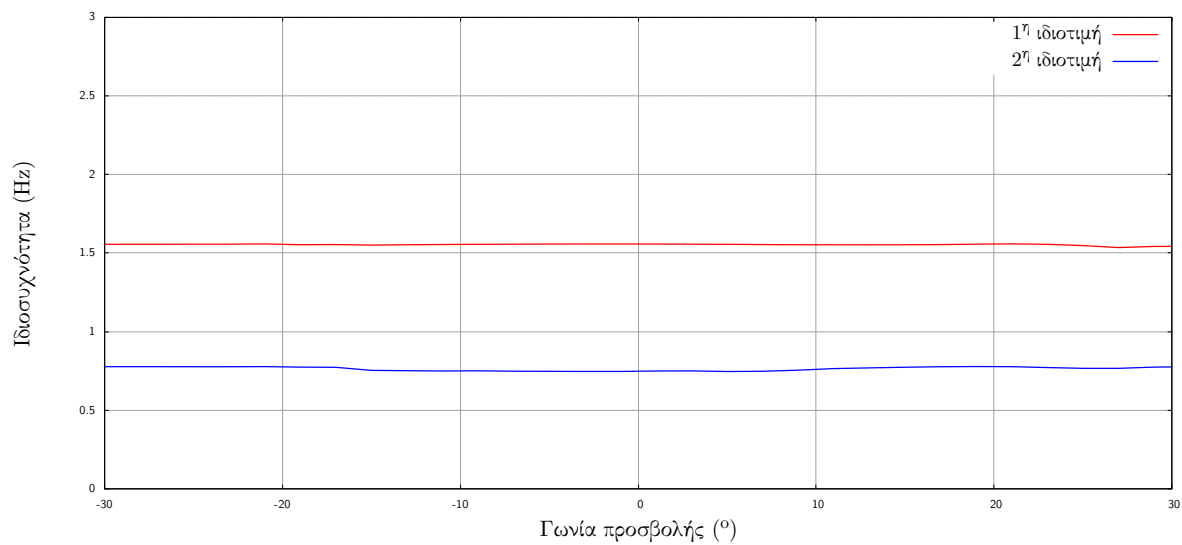
Γραμμική μάζα	m	165	<i>kg/m</i>
Ελαστικότητα χορδής	k_ξ	15791	<i>N/m</i>
Ελαστικότητα ⊥ χορδής	k_ζ	3948	<i>N/m</i>
Ταχύτητα ελεύθερης ροής	U_{inf}	80	<i>m/s</i>
Γωνία στήριξης	θ	2	<i>°</i>
Γωνία προσβολής	α	4	<i>°</i>
Μήκος χορδής	c	1.5	<i>m</i>
Αριθμός Reynolds	Re	$8 \cdot 10^6$	--

Πίνακας 1: Δεδομένα μοντέλου

Η απόσβεση του συστήματος γίνεται αρνητική, δηλαδή το σύστημα γίνεται ασταθές, όταν ένας εκ των δύο λόγους απόσβεσης γίνει αρνητικός, διότι αυτό υποδηλώνει πως προσδίδεται ενέργεια στην αεροτομή από το ρευστό. Στο σχήμα 4, όπως υποδηλώνει και η εξίσωση (2.5) βλέπουμε το πραγματικό μέρος της ιδιοτιμής και φαίνεται να γίνεται αρνητικό για γωνία προσβολής περίπου 20° και $\approx -21^\circ$ όταν η ιδιοτιμή που αντιστοιχεί στον B.E πτερύγησης γίνεται αρνητική. Παρατηρούμε επίσης, πως το μεγαλύτερο μέρος της απόσβεσης παρέχεται από τον B.E πτερύγησης (flapwise), ενώ για την chordwise κίνηση έχουμε μικρές αλλά θετικές τιμές απόσβεσης. Τέλος, παρατηρούμε πως οι ιδιοσυχνότητες επηρεάζονται ελάχιστα από τη γωνία προσβολής.

Για τα δεδομένα του προβλήματος μας (πίνακας 1) οι δυο ιδιοσυχνότητες και λόγοι απόσβεσης φαίνονται στον πίνακα 2.

Τα ιδιοδιανύσματα που προκύπτουν από την ανάλυση οπτικοποιούνται στο σχήμα 6. Ο βρόγχος που σχηματίζεται

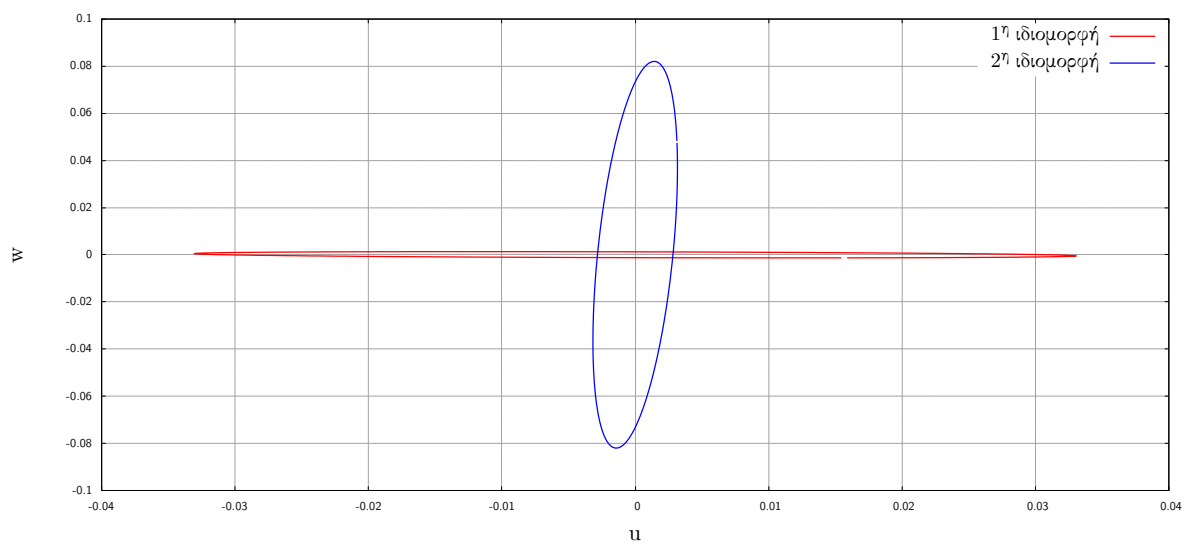


Σχήμα 5: Μεταβολή των ιδιοσυχνοτήτων συναρτήσει της γωνίας προσβολής

	1 ^η ιδιοτιμή	2 ^η ιδιοτιμή
Ιδιοσυχνότητα (Hz)	1.55	0.75
Λόγος απόσβεσης (--)	0.037	1.325

Πίνακας 2: Ιδιοτιμές συστήματος

υποδηλώνει την παρουσία απόσβεσης, και υπεισέρχεται ως διαφορά φάσης μεταξύ των ταλαντώσεων με τις δυο ιδιοσυχνότητες. Όπως είναι φανερό και απο τον πίνακα ?? η πρώτη ιδιομορφή εμφανίζει πολύ μικρότερο βρόγχο που συμφωνεί με τον μικρότερο λόγο απόσβεσης της ιδιοτιμής.



Σχήμα 6: Οπτικοποίηση ιδιοδιανυσμάτων για τις δυο ιδιοτιμές

3 Χρονική ολοκλήρωση των αεροελαστικών εξισώσεων

Η χρονική απόκριση των δυο βαθμών ελευθερίας εκφράζονται ως εξής:

$$\mathbf{x}(t) = \mathbf{x}_{hom} + \mathbf{x}_{part} \quad (3.1)$$

Όπου \mathbf{x}_{hom} η ομογενής λύση του συστήματος και \mathbf{x}_{part} η μερική λύση που ακολουθεί τη μορφή της διέγερσης -- των αεροδυναμικών φορτίων.

Η ομογενής λύση, χρησιμοποιώντας τον ιδιοανυσματικό μετασχηματισμό είναι:

$$\mathbf{x}(t)_{hom} = \sum_{k=1}^2 \left[\phi_{0k} e^{Re(\lambda_k)t} \left(A_k \cos(Im(\lambda_k)t + \theta_k) + B_k \sin(Im(\lambda_k)t + \theta_k) \right) \right] \quad (3.2)$$

Όπου, με k συμβολίζουμε την k -οστή ιδιοτιμή, ϕ_{0k} είναι το μέτρο της μιγαδικής ιδιομορφής και θ_k η φάση της. Δηλαδή, η ομογενής λύση προκύπτει από υπέρθεση των ταλαντώσεων για όλες τις ιδιοτιμές. Οι συντελεστές A_k, B_k προσδιορίζονται από τις αρχικές συνθήκες.

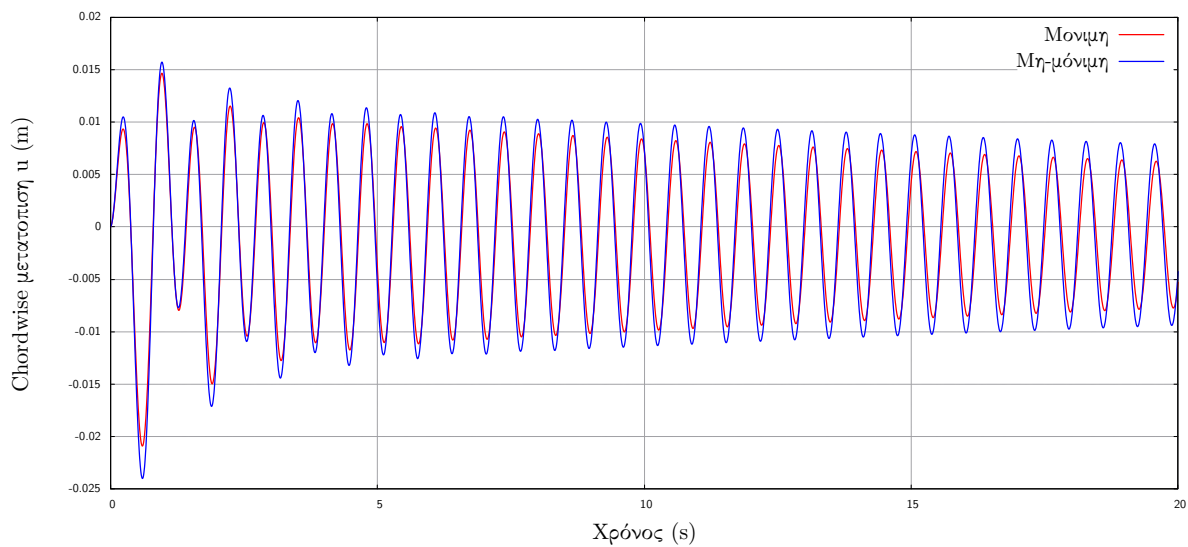
Η αντίστοιχη μερική λύση, θεωρώντας σταθερά αεροδυναμικά φορτία είναι η μόνιμη απόκριση του συστήματος και είναι:

$$\mathbf{x}_{part} = \begin{bmatrix} \mathbf{0} & \mathbf{0} \\ \mathbf{0} & \mathbf{K}^{-1} \end{bmatrix} \cdot \begin{Bmatrix} 0 \\ 0 \\ F_x \\ F_z \end{Bmatrix} \quad (3.3)$$

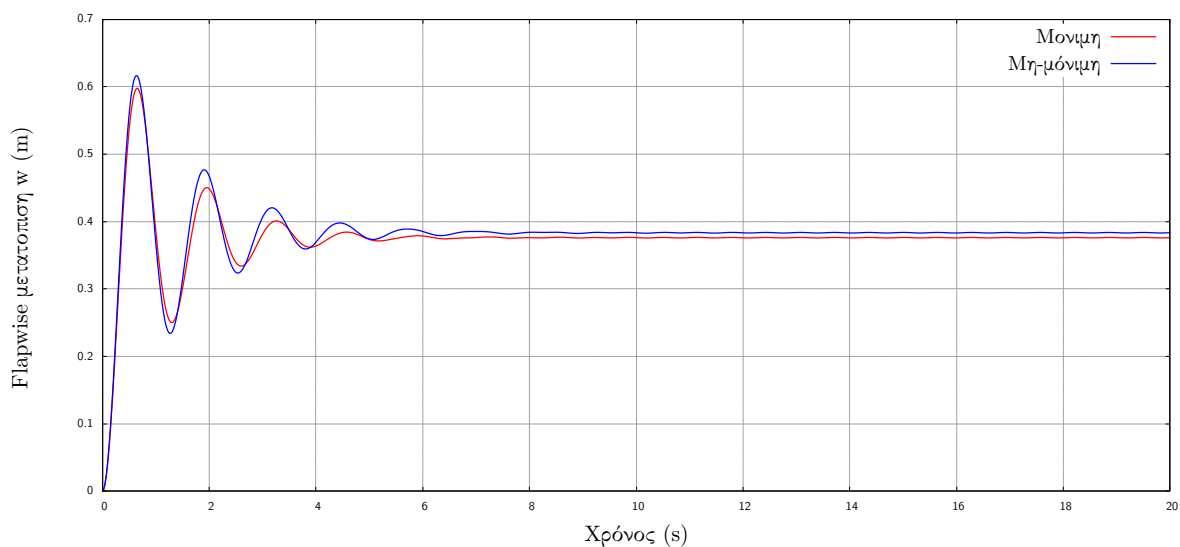
Επομένως, με δεδομένα τα παραπάνω, μπορούμε να προσδιορίσουμε την απόκριση του συστήματος. Για την περίπτωση της μόνιμης ροής, γραμμικοποιήσαμε γύρω από τη θέση ισορροπίας, και χρησιμοποιήσαμε τις παραπάνω εξισώσεις για τον υπολογισμό της χρονοσειράς της απόκρισης, με απόσβεση και σταθερό αεροδυναμικό φορτίο όπως υπολογίζεται στη θέση αναφοράς.

Για την περίπτωση της μη-μονιμής ροής, όπως αναφέραμε και σε προηγούμενη παράγραφο, επειδή για τον υπολογισμό των αεροδυναμικών φορτίων απαιτείται η επίλυση μιας ακόμη διαφορικής εξίσωσης, σε κάθε χρονικό βήμα, με αρχική συνθήκη την κατάσταση του προηγούμενου βήματος, υπολογίζουμε τα αεροδυναμικά φορτία, και προσδιορίζουμε τη νέα κατάσταση από τις εξισώσεις (3.1)-(3.3). Εδώ κάνουμε την απλούστευση πως για τη διάρκεια κάθε βήματος, τα αεροδυναμικά φορτία είναι σταθερά και υπολογίζουμε τη μερική λύση από την εξίσωση (3.3). Επιπλέον, σε αυτή την περίπτωση, στην ομογενή λύση χρησιμοποιούμε μηδενικό μητρώο απόσβεσης, αφού η απόσβεση υπεισέρχεται έμμεσα από την μεταβολή των αεροδυναμικών φορτίων ανάλογα της κατάστασης του συστήματος.

Ξεκινώντας με μηδενικές μετατοπίσεις, ταχύτητες, και επιταχύνσεις, και χρησιμοποιώντας τα δεδομένα όπως παρατίθενται στον πίνακα 1, η χρονοσειρά της απόκρισης για μόνιμη και μη-μόνιμη ροή, φαίνονται στα σχήματα 7-8.



Σχήμα 7: Χρονοσειρά απόκρισης -- μετατόπιση u



Σχήμα 8: Χρονοσειρά απόκρισης -- μετατόπιση w

Παρατηρούμε πως τα δυο μοντέλα παρέχουν κοντινές αποκρίσεις. Επιπλέον, είναι προφανές πως κατά την chordwise διεύθυνση έχουμε πολύ μικρότερη απόσβεση, σημειώνοντας πως για χρόνο $t=20s$ η ταλάντωση έχει αποσβεσθεί ελάχιστα. Αντίθετα, όπως υποδεικνύουν και οι τιμές της απόσβεσης που προκύπτουν από την ιδιανυσματική ανάλυση, κατά την διεύθυνση πτερύγησης έχουμε πολύ εντονότερη απόσβεση. Το γεγονός ότι έχουμε πολύ ασθενή σύζευξη μεταξύ των δυο βαθμών ελευθερίας συντελεί στην ασθενή απόσβεση στη μετατόπιση u . Αν είχαμε εντονότερη σύζευξη, είτε επιλέγοντας μεγαλύτερη γωνία θ ή καλύτερα τροποποιώντας τη διατομή της πτέρυγας ώστε να τροποποιήσουμε τους κύριους άξονες, τότε η ταλάντωση στην chordwise διεύθυνση θα αποσβαινόταν πολύ γρηγορότερα, επάγοντας μετατοπίσεις στην flapwise διεύθυνση όπου έχουμε υψηλή απόσβεση.

Αναφορικά με τη σύγκριση των αποτελεσμάτων των δυο μοντέλων, αρχικά αναφέρεται πως η προσέγγιση της συμπεριφοράς C_L ως γραμμική δίνει ελαφρά διαφορετικές τιμές συγκριτικά με την καμπύλη της μόνιμης ροής, και κατοπτρίζεται σε ελαφρά διαφορετικό σημείο ισορροπίας όταν αποσβαινεται η ταλάντωση, ωστόσο θα μπορούσε

να αντιμετωπισθεί με πιο ακριβή προσδιορισμό της κλίσης της γραμμικής περιοχής του C_L και του σημείου α_0 . Επιπλέον, το μοντέλο μη-μόνιμης ροής φαίνεται να είναι πιο συντηρητικό συγκριτικά με τη μόνιμη ροή, αφού παρατηρούμε μεγαλύτερα πλάτη ταλάντωσης, ωστόσο στη συγκεκριμένη περίπτωση μπορεί να οφείλεται στην ελαφρώς μεγαλύτερη τιμή του C_L όπως αναφέραμε παραπάνω.

I Πηγαίος κώδικας

Το λογισμικό που λύνει το μοντέλο υλοποιήθηκε σε γλώσσα C++. Η δομή του κώδικα αποτελείται από τα εξής. Ένα αρχείο (main.cpp) με την κύρια συνάρτηση του προγράμματος που περιλαμβάνει την κεντρική δομή του αλγορίθμου, και δευτερεύοντα βοηθητικά αρχεία που περιέχουν τους ορισμούς των συναρτήσεων που καλούνται στην κεντρική δομή του αλγορίθμου. Οι παράμετροι του προβλήματος και τα μητρώα μάζας και δυσκαμψίας διαβάζονται από αντίστοιχα αρχεία εισόδου. Έτσι, παρακάτω παρατίθενται τα αρχεία με την σειρά που αναφέρθηκαν.

I.i Κύρια συνάρτηση αλγορίθμου main.cpp

```

1 #include "utilities.h"
2 #include <complex>
3 #include <fstream>
4 #include <ostream>
5
6
7 typedef std::complex<double> cmp;
8
9 int main(int argc, char *argv[]) {
10
11     double time = std::stod(argv[1]);
12     int sz;
13
14     sz = 2;
15     // Calculation classes construction
16     inputData data(sz);
17     inputData alt(sz);
18
19     std::string filename = "matrix.dat";
20
21
22     // Read inputs
23     readMat(sz, data.M, data.K, filename);
24     readMat(sz, alt.M, alt.K, filename);
25
26     data.readInput("input.dat");
27     alt.readInput("input.dat");
28
29     // Read aerodynamic data
30     std::string clpath = "doc/CL.dat";
31     std::string cdpath = "doc/CD.dat";
32     readAero(clpath, cdpath, data);
33     readAero(clpath, cdpath, alt);
34
35     // Initialize solutions
36     // Calculates Damping, loads
37     // and steady state solution
38     data.initialize();
39     alt.initialize();
40     data.theodorsen = true; // data class will use Theodorsen equations
41
42     // =====
43
44     std::ofstream outE("theodorsen.dat");
45     outE << "Time (s) " << std::setw(25) << "U" << std::setw(25) << "W" << std::endl;
46     outE.close();
47
48     std::ofstream outA("eigenSteady.dat");
49     outA << "Time (s) " << std::setw(25) << "U" << std::setw(25) << "W" << std::endl;
50     outA.close();
51
52     // Unsteady class calculation initialization
53     Theodorsen theodorsen(&data);
54
55     // Main time integration loop
56     while (data.t_tot < time)
57     {
58         std::cout << data.t_tot << "s" << std::setw(25) << data.eigenvalues[0] << std::setw(25)
59         << data.eigenvalues[1] << std::endl;

```



```

60     theodorsen.calcNextY(); // Calculate next discrete y1, y2
61     theodorsen.calcLoads();
62     data.computeEigen();
63     data.computeConstants(); // Compute homogenous solution coefficients
64     data.nextAnalyticalStep("theodorsen.dat");
65
66     alt.computeConstants();
67     alt.nextAnalyticalStep("eigenSteady.dat");
68 }
69
70
71 // Angle of attack vs Damping
72
73 // std::ofstream al("damping.dat");
74 // std::ofstream freq("frequency.dat");
75 // eigen.alpha = -pi/4;
76 // while (eigen.alpha < pi/4) {
77 //     eigen.calcDamp();
78 //     eigen.computeEigen();
79 //
80 //     al << eigen.alpha/pi*180 << " " << eigen.eigenvalues[0].real() << " " << eigen.
eigenvalues[1].real() << std::endl;
81 //     freq << eigen.alpha/pi*180 << " " << eigen.eigenvalues[0].imag() << " " << eigen.
eigenvalues[1].imag() << std::endl;
82 //
83 //     eigen.alpha += 2*pi/180;
84 // }
85 // al.close();
86 // freq.close();
87
88
89 }

```

I.ii Βοηθητικό αρχείο συναρτήσεων utilities.cpp

```

1 #include "utilities.h"
2 #include <Eigen/src/Eigenvalues/GeneralizedEigenSolver.h>
3 #include <fstream>
4 #include <istream>
5
6
7 // Reads mass and stiffness matrices
8 void readMat(int sz, Eigen::Matrix<double, Eigen::Dynamic, Eigen::Dynamic> &M, Eigen::Matrix<
double, Eigen::Dynamic, Eigen::Dynamic> &K, std::string filename)
9 {
10     std::ifstream mat(filename);
11     std::string a,b,c,trash;
12
13     mat >> trash;
14
15     for (int i = 0; i < sz; i++) {
16         mat >> a >> b ;
17         M(i,0) = std::stod(a);
18         M(i,1) = std::stod(b);
19     }
20
21     mat >> trash;

```

```

22
23     for (int i = 0; i < sz; i++) {
24         mat >> a >> b ;
25         K(i,0) = std::stod(a);
26         K(i,1) = std::stod(b);
27     }
28
29 }
30
31 // Reads input file
32 void inputData::readInput(std::string filename) {
33     std::ifstream inp(filename);
34
35     std::string trash, text;
36
37     getline(inp, trash);
38     getline(inp, text);
39     U_inf = std::stod(text);
40
41     getline(inp, trash);
42     getline(inp, text);
43     theta = std::stod(text)*pi/180;
44
45     getline(inp, trash);
46     getline(inp, text);
47     alpha = std::stod(text)*pi/180;
48
49     getline(inp, trash);
50     getline(inp, text);
51     rho = std::stod(text);
52
53     getline(inp, trash);
54     getline(inp, text);
55     chord = std::stod(text);
56
57     getline(inp, trash);
58     getline(inp, text);
59     u = std::stod(text);
60
61     getline(inp, trash);
62     getline(inp, text);
63     uv = std::stod(text);
64
65     getline(inp, trash);
66     getline(inp, text);
67     ua = std::stod(text);
68
69     getline(inp, trash);
70     getline(inp, text);
71     w = std::stod(text);
72
73     getline(inp, trash);
74     getline(inp, text);
75     wv = std::stod(text);
76
77     getline(inp, trash);
78     getline(inp, text);
79     wa = std::stod(text);
80
81     // MISPLACED UTILITY
82
83     // Transform stiffness matrix
84     Eigen::Matrix<double, 2, 2> R;
85     R(0,0) = cos(theta);
86     R(0,1) = sin(theta);
87     R(1,0) = -sin(theta);
88     R(1,1) = cos(theta);
89
90     K = R.transpose()*K*R;
91 }
92
93 // Reads aerodynamic data (curves)
94 void readAero(std::string filenameCl, std::string filenameCd, inputData &input) {

```

```

95
96     int Lsz;
97     int Dsz;
98     std::string textCl;
99     std::string textCd;
100
101     std::ifstream cl(filenameCl);
102     std::ifstream cd(filenameCd);
103
104     // First entry is the count of the data points
105     cl >> Lsz;
106     cd >> Dsz;
107
108     input.Lift.conservativeResize(Lsz,2);
109     input.Drag.conservativeResize(Dsz,2);
110
111     for (int i = 0; i < Lsz; i++)
112     {
113         cl >> input.Lift(i,0) >> input.Lift(i,1);
114     }
115
116     for (int i = 0; i < Dsz; i++)
117     {
118         cd >> input.Drag(i,0) >> input.Drag(i,1);
119     }
120 }
121
122 double inputData::getCL(double a /*Radians*/){
123     double alph = a/pi*180;
124     double cl;
125     int i = 0;
126     int sz = Lift.rows()-1;
127
128     if (alph > 50) alph = 50;
129     if (alph < -50) alph = -50;
130
131     // Find section for linear interpolation
132     while (i < Lift.rows()) {
133         if (alph <= Lift(i,0))
134         {
135             break;
136         }
137         i++;
138     }
139
140     // If a is outside of data bounds
141     // 2nd order extrapolation
142
143     double grad0 = (Lift(1,1)-Lift(0,1))/(Lift(1,0)-Lift(0,0));
144     double grad0_1 = (Lift(2,1)-Lift(0,1))/(Lift(2,0)-Lift(0,0));
145
146     double gradn = (Lift(sz,1)-Lift(sz-1,1))/(Lift(sz,0)-Lift(sz-1,0));
147     double gradn_1 = (Lift(sz,1)-Lift(sz-2,1))/(Lift(sz,0)-Lift(sz-2,0));
148
149     double curv0 = (grad0_1-grad0)/(Lift(1,0)-Lift(0,0));
150     double curvn = (gradn-gradn_1)/(Lift(sz,0)-Lift(sz-1,0));
151
152     if (i==0) {
153         // Extrapolation using curvature
154         cl = Lift(0,1) + grad0*(alph-Lift(0,0)) + pow(alph-Lift(0,0),2)/2*curv0;
155     } else if (i == Lift.rows()) {
156         // Extrapolation using curvature
157         cl = Lift(sz,1) + gradn*(alph-Lift(sz,0)) + pow(alph-Lift(sz,0),2)/2*curvn;
158     } else {
159         // linear interpolation
160         cl = Lift(i-1,1) + (Lift(i,1)-Lift(i-1,1))/(Lift(i,0)-Lift(i-1,0))*(alph-Lift(i-1,0));
161     }
162
163     return cl;
164 }
165
166 double inputData::getCD(double a /*Radians*/){
167     double alph = a/pi*180;

```

```

168     double cd;
169     int i = 0;
170     int sz = Drag.rows()-1;
171
172     if (alph > 50) alph = 50;
173     if (alph < -50) alph = -50;
174
175     while (i < Drag.rows()) {
176         if (alph <= Drag(i,0))
177             {
178                 break;
179             }
180         i++;
181     }
182
183     // If a is outside of data bounds
184     // 2nd order extrapolation
185
186     double grad0 = (Drag(1,1)-Drag(0,1))/(Drag(1,0)-Drag(0,0));
187     double grad0_1 = (Drag(2,1)-Drag(0,1))/(Drag(2,0)-Drag(0,0));
188
189     double gradn = (Drag(sz,1)-Drag(sz-1,1))/(Drag(sz,0)-Drag(sz-1,0));
190     double gradn_1 = (Drag(sz,1)-Drag(sz-2,1))/(Drag(sz,0)-Drag(sz-2,0));
191
192     double curv0 = (grad0_1-grad0)/(Drag(1,0)-Drag(0,0));
193     double curvn = (gradn-gradn_1)/(Drag(sz,0)-Drag(sz-1,0));
194
195     if (i==0) {
196         // Extrapolation using curvature
197         cd = Drag(0,1) + grad0*(alph-Drag(0,0)) + pow(alph-Drag(0,0),2)/2*curv0;
198     } else if (i == Drag.rows()) {
199         // Extrapolation using curvature
200         cd = Drag(sz,1) + gradn*(alph-Drag(sz,0)) + pow(alph-Drag(sz,0),2)/2*curvn;
201     } else {
202         cd = Drag(i-1,1) + (Drag(i,1)-Drag(i-1,1))/(Drag(i,0)-Drag(i-1,0))*(alph-Drag(i-1,0));
203     }
204     return cd;
205 }
206
207
208
209 double inputData::getCDgrad(double a /*Radians*/){
210
211     double grad;
212     double step = 0.1/180.0*pi;
213
214     grad = (getCD(a+step)-getCD(a-step))/(2*step);
215
216     return grad;
217 }
218
219 double inputData::getCLgrad(double a /*Radians*/){
220     double grad;
221
222     double step = 0.1/180.0*pi;
223
224     grad = (getCL(a+step)-getCL(a-step))/(2*step);
225
226     return grad;
227 }
228
229 double inputData::getAeff(){
230     double aeff;
231     aeff = -atan((U_inf*sin(alpha+theta)-wv)/(-U_inf*cos(alpha+theta)-uv))-theta;
232     return aeff;
233 }
234
235 void inputData::initialize(){
236     calcDamp();
237     computeEigen();
238     calcSteadyLoads();
239     // Calculate Partial solution
240     partialSol = K.householderQr().solve(Q);

```

241 }

I.iii Αρχείο συναρτήσεων επίλυσης solver.cpp

```

1  #include "utilities.h"
2
3
4  void inputData::computeEigen(){
5
6      // Initialize help matrices
7      Eigen::Matrix<double, Eigen::Dynamic, Eigen::Dynamic> R;
8      Eigen::Matrix<double, Eigen::Dynamic, Eigen::Dynamic> newR;
9
10     Eigen::Matrix<double, Eigen::Dynamic, Eigen::Dynamic> L;
11     Eigen::Matrix<double, Eigen::Dynamic, Eigen::Dynamic> invL;
12
13     R.resize(2*siz, 2*siz);
14     newR.resize(2*siz, 2*siz);
15     L.resize(2*siz, 2*siz);
16     invL.resize(2*siz, 2*siz);
17
18     if(theodor)
19     {
20         C.setZero();
21     }
22
23     // Construct A Matrix
24     R.setZero(); L.setIdentity();
25     R.block(0,0,2,2) = -C;
26     R.block(0,2,2,2) = -K;
27     R(2,0) = 1;
28     R(3,1) = 1;
29
30     L(0,0) = M(0,0); L(1,1) = M(1,1);
31     invL = L.colPivHouseholderQr().inverse();
32
33     newR = invL*R;
34
35     // Compute eigenvalues of A
36     Eigen::EigenSolver<Eigen::MatrixXd> ces;
37     ces.setMaxIterations(500);
38     ces.compute(newR, true);
39
40     // Save eigenvectors in data class
41     for (int i =0;i<4;i++)
42     {
43         eigenvectors(i,0).set(ces.eigenvectors()(i,0));
44         eigenvectors(i,1).set(ces.eigenvectors()(i,2));
45     }
46
47     eigenvalues[0] = ces.eigenvalues()[0];
48     eigenvalues[1] = ces.eigenvalues()[2];
49
50 }
51
52 // Solves for the homogenous solution coefficients
53 // with boundary conditions as input
54 void inputData::computeConstants() {
55
56     Eigen::Matrix<double,4,4> coeff;
57     Eigen::Matrix<double,4,1> rhs;
58     Eigen::Matrix<double,4,1> temp;

```

```

59
60   coeff.setZero();
61
62   // Solves  $x=x_0$  for  $t_0$  system of equations
63   for (int i = 0; i<4; i++)
64   {
65       coeff(i,0) = eigenvectors(i,0).len*cos(eigenvectors(i,0).theta);
66       coeff(i,1) = eigenvectors(i,0).len*sin(eigenvectors(i,0).theta);
67       coeff(i,2) = eigenvectors(i,1).len*cos(eigenvectors(i,1).theta);
68       coeff(i,3) = eigenvectors(i,1).len*sin(eigenvectors(i,1).theta);
69   }
70
71   // Set boundary conditions as rhs
72   rhs(0,0) = uv;
73   rhs(1,0) = wv;
74   rhs(2,0) = u;
75   rhs(3,0) = w;
76
77   // Calculate Partial solution
78   if (theodor)
79   {
80       partialSol = K.householderQr().solve(Q);
81   }
82
83   // Add partial solution to the rhs
84   rhs(2,0) -= partialSol(0);
85   rhs(3,0) -= partialSol(1);
86
87   // Solve system -> obtain coefficients
88   temp = coeff.householderQr().solve(rhs);
89   A1 = temp(0,0);
90   B1 = temp(1,0);
91   A2 = temp(2,0);
92   B2 = temp(3,0);
93
94   // Output state data for plotting
95   std::ofstream out("state.dat");
96
97   double ang, x1, x2, y1, y2;
98
99   for (double t = 0; t<360; t++)
100   {
101       ang = t*pi/180;
102       x1 = eigenvectors(2,0).len*(A1*cos(ang+eigenvectors(2,0).theta) + B1*sin(ang+
eigenvectors(2,0).theta));
103       x2 = eigenvectors(2,1).len*(A2*cos(ang+eigenvectors(2,1).theta) + B2*sin(ang+
eigenvectors(2,1).theta));
104       y1 = eigenvectors(3,0).len*(A1*cos(ang+eigenvectors(3,0).theta) + B1*sin(ang+
eigenvectors(3,0).theta));
105       y2 = eigenvectors(3,1).len*(A2*cos(ang+eigenvectors(3,1).theta) + B2*sin(ang+
eigenvectors(3,1).theta));
106       out << x1 << " " << y1 << " " << x2 << " " << y2 << std::endl;
107   }
108   out.close();
109 }
110 // Newmark integration (Unused)
111 void inputData::calcNextStep(){
112
113     // Newmark integration method
114
115     // Newmark constants
116     double beta = 1.0/4.0;
117     double Gamma = 0.5;
118
119     Eigen::Matrix<double, 2, 2> Keff;
120     Eigen::Vector<double, 2> Qeff, x, xv, temp;
121
122     t_tot += dt;
123
124     // Intermediate predictor values
125     x(0) = u + dt*uuv + (0.5-beta)*pow(dt,2)*ua;
126     x(1) = w + dt*wv + (0.5-beta)*pow(dt,2)*wa;
127

```

```

128   xv(0) = uv + (1-Gamma)*dt*ua;
129   xv(1) = wv + (1-Gamma)*dt*wa;
130
131   // Construct Effective stiffness and load matrices
132   Keff = M/(beta*pow(dt,2)) + C*Gamma/(beta*dt) + K;
133
134   Qeff = Q + (M/(beta*pow(dt,2)) + Gamma*C/(beta*dt))*x - C*xv;
135
136   temp = Keff.householderQr().solve(Qeff);
137
138   u = temp(0);
139   w = temp(1);
140
141   // Update velocity and accel values
142   uv = xv(0) + Gamma/(beta*dt)*(u-x(0));
143   wv = xv(1) + Gamma/(beta*dt)*(w-x(1));
144
145   ua = (u-x(0))/(beta*dt);
146   wa = (w-x(1))/(beta*dt);
147
148
149   std::ofstream out("time.dat", std::ofstream::app);
150
151   out << t_tot << std::setw(25) << u << std::setw(25) << w << std::setw(25) << uv << std::
   setw(25) << wv << std::setw(25) << ua << std::setw(25) << wa << std::endl;
152   out.close();
153 }
154
155
156 void inputData::nextAnalyticalStep(std::string filename) {
157
158   std::vector<double> var(4);
159
160   t_tot += dt;
161
162   // Calculate homogenous solution for each variable
163   for (int i = 0; i<4; i++)
164   {
165       var[i] = eigenvectors(i,0).len*std::exp(eigenvalues[0].real()*dt)*(A1*cos(eigenvalues
   [0].imag()*dt+eigenvectors(i,0).theta)
166           + B1*sin(eigenvalues[0].imag()*dt + eigenvectors(i,0).theta))
167
168           + eigenvectors(i,1).len*std::exp(eigenvalues[1].real()*dt)*(A2*cos(eigenvalues
   [1].imag()*dt+eigenvectors(i,1).theta)
169           + B2*sin(eigenvalues[1].imag()*dt + eigenvectors(i,1).theta));
170
171   }
172
173
174   // Add partial solution
175   var[2] += partialSol(0);
176   var[3] += partialSol(1);
177
178   // Calculate acceleration values (FD)
179   ua = (var[0]-uv)/dt;
180   wa = (var[1]-wv)/dt;
181
182   // Update solution state variables
183   u = var[2]; w = var[3]; uv = var[0]; wv = var[1];
184
185   // File output
186   std::ofstream outAn(filename, std::ofstream::app);
187
188   outAn << t_tot << std::setw(25) << u << std::setw(25) << w << " " << uv << " " << wv << " "
   << ua << " " << wa << std::endl;
189
190   outAn.close();
191 }

```

I.iv Αρχείο συναρτήσεων εξισώσεων μόνιμης ροής steady.cpp

```

1 #include "utilities.h"
2
3 // Calculates steady damping matrix
4 void inputData::calcDamp() {
5     double partaU, partaW, aeff;
6
7     // Aeff partial derivatives
8
9     partaU = - (U_inf*sin(alpha+theta)-wv)/(pow(U_inf,2) + pow(uv,2) + pow(wv,2) + 2*U_inf*(cos(
10    alpha+theta)*uv - sin(alpha+theta)*wv));
11    partaW = - (U_inf*cos(alpha+theta)+uv)/(pow(U_inf,2) + pow(uv,2) + pow(wv,2) + 2*U_inf*(cos(
12    alpha+theta)*uv - sin(alpha+theta)*wv));
13    aeff = -atan((U_inf*sin(alpha+theta)-wv)/(-U_inf*cos(alpha+theta)-uv))-theta;
14
15    // Construction of C Matrix
16    C(0,0) = -0.5*rho*chord*pow(U_inf,2)*partaU * (sin(aeff+theta)*(getCLgrad(aeff)+getCD(aeff))
17    + cos(aeff+theta)*(getCL(aeff)-getCDgrad(aeff)) );
18
19    C(0,1) = -0.5*rho*chord*pow(U_inf,2)*partaW * (sin(aeff+theta)*(getCLgrad(aeff)+getCD(aeff))
20    + cos(aeff+theta)*(getCL(aeff)-getCDgrad(aeff)) );
21
22    C(1,0) = -0.5*rho*chord*pow(U_inf,2)*partaU * (sin(aeff+theta)*(getCDgrad(aeff)-getCL(aeff))
23    + cos(aeff+theta)*(getCD(aeff)+getCLgrad(aeff)) );
24
25    C(1,1) = -0.5*rho*chord*pow(U_inf,2)*partaW * (sin(aeff+theta)*(getCDgrad(aeff)-getCL(aeff))
26    + cos(aeff+theta)*(getCD(aeff)+getCLgrad(aeff)) );
27
28    // File output
29    std::ofstream dampSt("dampingSteady.dat", std::ofstream::app);
30    dampSt << t_tot << std::setw(25) << C(0,0) << std::setw(25) << C(0,1) << std::setw(25) << C
31    (1,0) << std::setw(25) << C(1,1) << std::endl;
32    dampSt.close();
33 }
34
35 // Calculates steady aerodynamic loads
36 void inputData::calcSteadyLoads() {
37
38     double aeff = getAeff();
39     double L, D;
40     L = 0.5*getCL(aeff)*rho*pow(U_inf,2)*chord;
41     D = 0.5*getCD(aeff)*rho*pow(U_inf,2)*chord;
42
43     Q(0) = L*sin(aeff+theta)-D*cos(aeff+theta);
44     Q(1) = L*cos(aeff+theta)+D*sin(aeff+theta);
45
46     // File output
47
48     std::ofstream loadsSt("loadsSteady.dat", std::ofstream::app);
49     loadsSt << t_tot << std::setw(25) << Q(0) << std::setw(25) << Q(1) << std::endl;
50     loadsSt.close();
51 }

```

I.v Αρχείο συναρτήσεων εξισώσεων μη-μόνιμης ροής theodorsen.cpp

```

1 #include "utilities.h"
2
3 void Theodorsen::calcNextY() {
4     for (int i = 0; i<2; i++) {

```



```

5     y[i] = (b[i]*A[i]*2*target->U_inf/target->chord*target->getAeff()+y[i]/dt)/(1/dt+b[i]*2*
6     target->U_inf/target->chord);
7 }
8
9 // Calculate unsteady aerodynamic loads
10 void Theodorsen::calcLoads() {
11
12     ae = target->getAeff()* (1-A[0]-A[1])+y[0]+y[1];
13
14     double h_dd = target->wa*cos(target->theta) + target->ua*sin(target->theta); // Flapwise
15     acceleration
16
17     double cl = grad0*(ae-a0) - pi*target->chord*h_dd/(2*pow(target->U_inf,2));
18     double cd = target->getCD(ae) + cl*(target->getAeff()-ae);
19
20     L = 0.5*target->rho*pow(target->U_inf,2)*cl*target->chord;
21     D = 0.5*target->rho*pow(target->U_inf,2)*cd*target->chord;
22
23     target->Q(0) = L*sin(ae+target->theta)-D*cos(ae+target->theta);
24     target->Q(1) = L*cos(ae+target->theta)+D*sin(ae+target->theta);
25
26     // File output
27     std::ofstream loadsTh("loadsTheodorsen.dat", std::ofstream::app);
28     loadsTh << target->t_tot << std::setw(25) << target->Q(0) << std::setw(25) << target->Q(1)
29     << std::endl;
30     loadsTh.close();
31 }
32 void Theodorsen::calcDamp() {
33
34     // Theodorsen derivation Aeff
35
36     // Aeff partial derivatives
37     double partaU = - (target->U_inf*sin(target->alpha+target->theta)-target->wv)/(pow(target->
38     U_inf,2) + pow(target->uv,2) + pow(target->wv,2) + 2*target->U_inf*(cos(target->alpha+target
39     ->theta)*target->uv - sin(target->alpha+target->theta)*target->wv));
40
41     double partaW = - (target->U_inf*cos(target->alpha+target->theta)+target->uv)/(pow(target->
42     U_inf,2) + pow(target->uv,2) + pow(target->wv,2) + 2*target->U_inf*(cos(target->alpha+target
43     ->theta)*target->uv - sin(target->alpha+target->theta)*target->wv));
44
45     // Cl, Cd partial derivatives
46     double partClU = grad0*partaU;
47     double partClW = grad0*partaW;
48
49     double partCdU = target->getCDgrad(ae)*partaU + partClU*(target->getAeff()-ae);
50     double partCdW = target->getCDgrad(ae)*partaW + partClW*(target->getAeff()-ae);
51
52     // Lift, Drag derivatives
53     double partLU = 0.5*target->rho*pow(target->U_inf,2)*target->chord*partClU;
54     double partLW = 0.5*target->rho*pow(target->U_inf,2)*target->chord*partClW;
55
56     double partDU = 0.5*target->rho*pow(target->U_inf,2)*target->chord*partCdU;
57     double partDW = 0.5*target->rho*pow(target->U_inf,2)*target->chord*partCdW;
58
59     // C matrix assembly
60     target->C(0,0) = partLU*sin(ae+target->theta) + L*cos(ae+target->theta)*partaU
61     - partDU*cos(ae+target->theta) + D*sin(ae+target->theta)*partaU;
62
63     target->C(0,1) = partLW*sin(ae+target->theta) + L*cos(ae+target->theta)*partaW
64     - partDW*cos(ae+target->theta) + D*sin(ae+target->theta)*partaW;
65
66     target->C(1,0) = partLU*cos(ae+target->theta) - L*sin(ae+target->theta)*partaU
67     + partDU*sin(ae+target->theta) + D*cos(ae+target->theta)*partaU;
68
69     target->C(1,1) = partLW*cos(ae+target->theta) - L*sin(ae+target->theta)*partaW
70     + partDW*sin(ae+target->theta) + D*cos(ae+target->theta)*partaW;
71
72     target->C = -target->C;
73 }

```

```

71 // File output
72 std::ofstream dampTh("dampingTheodorsen.dat", std::ofstream::app);
73 dampTh << target->t_tot << std::setw(25) << target->C(0,0) << std::setw(25) << target->C
74 (0,1) << std::setw(25) << target->C(1,0) << std::setw(25) << target->C(1,1) << std::endl;
75 dampTh.close();
76 }

```

I.vi Βοηθητικό αρχείο ορισμού συναρτήσεων utilities.h

```

1 #pragma once
2
3 // #include <Eigen/src/Core/util/Constants.h>
4 #include <complex>
5 #include <stdlib.h>
6 #include <iostream>
7 #include <fstream>
8 #include <Eigen/Core>
9 #include <Eigen/Eigenvalues>
10 #include <string>
11 #include <numbers>
12 #include <vector>
13 #include <iomanip>
14
15 #define dt 0.005
16
17 const int parInitVal = 25;
18 const double pi = std::numbers::pi;
19
20 struct cmpx {
21     double len, theta, real, imag;
22     void set(std::complex<double> val) {
23         len = sqrt(pow(val.real(),2) + pow(val.imag(),2));
24         theta = atan2(val.imag(), val.real());
25         real = val.real();
26         imag = val.imag();
27     }
28 };
29
30 struct inputData {
31     // Struct variables
32     int siz;
33     double alpha, theta, U_inf, rho, chord, A1, A2, B1, B2, t_tot;
34     Eigen::Matrix<double, Eigen::Dynamic, Eigen::Dynamic> M, K, C;
35     Eigen::Matrix<double, Eigen::Dynamic, 2> Lift, Drag;
36     Eigen::Matrix<cmpx,4,2> eigenvectors;
37     Eigen::Matrix<cmpx,4,2> prevEigenvectors;
38     Eigen::Vector<double,2> Q;
39     Eigen::Vector<double,2> prevQ;
40     Eigen::Vector<double,2> partialSol;
41
42     std::vector<std::complex<double>> eigenvalues;
43     std::vector<std::complex<double>> prevEigenvalues;
44
45     // Methods declaration
46     double getCD(double a);
47     double getCDgrad(double a);
48     double getCL(double a);
49     double getCLgrad(double a);
50     void readInput(std::string filename);
51     void initialize();
52     void calcDamp();

```

```

53 void computeEigen();
54 void computeConstants();
55 void calcNextStep();
56 void calcSteadyLoads();
57 void nextAnalyticalStep(std::string filename);
58 double getAeff();
59
60
61 // State variables
62 double u, uv, ua, w, wv, wa;
63
64 bool theodor; // Unsteady solution flag (True)
65
66 inputData(int sz)
67 {
68     siz = sz;
69     M.resize(siz,siz);
70     K.resize(siz,siz);
71     C.resize(siz,siz);
72     M.setZero(); K.setZero(); C.setZero();
73     Lift.resize(parInitVal,2);
74     Drag.resize(parInitVal,2);
75     eigenvalues.resize(2);
76     prevEigenvalues.resize(2);
77     prevQ.setZero();
78     u = 0;
79     uv = 0;
80     ua = 0;
81     w = 0;
82     wv = 0;
83     wa = 0;
84     t_tot = 0;
85     Q.setZero();
86     theodor = false;
87 }
88 };
89
90 // Struct used to compute unsteady variants
91 struct Theodorsen {
92     inputData *target;
93     double b[2];
94     double A[2];
95     double y[2];
96     double ae, L, D;
97     double grad0, a0;
98
99     void calcNextY();
100    void calcDamp();
101    void calcLoads();
102    // Constructor assigns target struct pointer
103    Theodorsen(inputData* p) : target(p){
104        b[0] = 0.0455;
105        b[1] = 0.3;
106        A[0] = 0.165;
107        A[1] = 0.335;
108        if (target->t_tot != 0) {
109            std::cout << "Instantiated Theodorsen on non-initial solution" << std::endl;
110        }else {
111            y[0] = target->getAeff()*A[0];
112            y[1] = target->getAeff()*A[1];
113        }
114
115        grad0 = (target->getCL(0.0+5.0*pi/180.0)-target->getCL(0.0-5.0*pi/180.0))/((double)
116            2.0*pi*5.0/180.0*pi);
117
118        if (grad0 != 0)
119        {
120            a0 = -target->getCL(0)/grad0;
121        }else {
122            std::cout << "zero CL gradient" << std::endl;
123            a0 = 0;
124        }
125    };

```

```
125 };
126
127 void readAero(std::string filenameCl, std::string filenameCd, inputData &input);
128
129 void readMat(int sz, Eigen::Matrix<double,Eigen::Dynamic,Eigen::Dynamic> &M, Eigen::Matrix<
    double,Eigen::Dynamic,Eigen::Dynamic> &K, std::string filename);
```

I.vii Αρχεία εισόδου matrix.dat και input.dat

```
1 UINF (m/s)
2 80
3 THETA_0 (Degrees)
4 2
5 AoA (Degrees)
6 4
7 Density
8 1.22
9 Chord Length (m)
10 1.5
11 u0
12 0
13 uv0
14 0
15 ua0
16 0
17 w0
18 0
19 wv0
20 0
21 wa0
22 0
```

```
1 M
2 165 0
3 0 165
4 K
5 15791 0
6 0 3948
```